2016 № 2 (96)

УДК 621.391

# МЕТОДИКА УГЛОВОГО ОПТИЧЕСКОГО СКАНИРОВАНИЯ ПЛОСКИХ ПОВЕРХНОСТЕЙ ДЛЯ СИСТЕМ ТЕХНИЧЕСКОГО ЗРЕНИЯ

#### В.А. БОГУШ

Белорусский государственный университет информатики и радиоэлектроники П. Бровки, 6, Минск, 220013, Беларусь

Поступила в редакцию 26 февраля 2016

Предложена методика углового оптического сканирования плоских поверхностей с субпиксельной обработкой изображений, полученных с фотоприемной КМОП-матрицы сканера.

Ключевые слова: оптическое сканирование, субпиксельная обработка.

#### Введение

Для развития технологий технического зрения актуальна проблема повышения разрешения изображений, формируемых в результате оптического сканирования. Известные методы и алгоритмы решения данной проблемы не учитывают особенности построения систем оптического сканирования (считывание изображений с плоских поверхностей, возможность согласования моментов считывания фотоприемной КМОП-матрицы с ее ориентацией относительно направления и скоростью перемещения оптоэлектронной системы). В качестве исходных данных в этих методах рассматривается одно изображение, либо несколько изображений, относительный пиксельный сдвиг между которыми точно неизвестен (не нормирован) [1–5]. В этой связи актуальна задача разработки методики оптического сканирования плоских поверхностей и субпиксельной обработки формируемых изображений, учитывающих данные особенности.

## Угловое сканирование плоских поверхностей с последующей субпиксельной обработкой

В основе методики оптического сканирования плоских поверхностей предлагается использовать управление угловой ориентацией фотоприемной КМОП-матрицы для обеспечения возможности считывания изображения одного и того же участка плоской поверхности с различных частей фотоприемной КМОП-матрицы с некоторым полупиксельным смещением по вертикали и горизонтали. Моменты времени считывания изображений с фотоприемной матрицы могут быть выбраны таким образом, что энергия, сосредоточенная в каждом пикселе изображения, считанного с фотоприемной матрицы в один момент времени, равномерно распределится по четырем пикселям изображения, считанного в другой момент времени. Это дает возможность получения изображения высокого разрешения в результате субпиксельной обработки двух изображений низкого разрешения, полученных в различные моменты времени в результате углового сканирования, на основе алгоритма доменной интерполяции.

Если второе изображение сдвинуто относительно первого изображения влево и вверх на полпикселя, алгоритм субпиксельной обработки двух изображений низкого разрешения на основе доменной интерполяции состоит из следующих шагов.

- 1. Обработка первого исходного изображения низкого разрешения.
- 1.1. Выбор пикселя  $i_1(y,x)$  первого исходного изображения  $I_1 = \|i_1(y,x)\|_{\left(y=\overline{0,Y-1},x=\overline{0,X-1}\right)}$  низкого разрешения при  $y=\overline{1,Y-2}$  ,  $x=\overline{1,X-2}$  .

1.2. Для пикселя  $i_1(y,x)$  исходного изображения  $I_1$  вычисляется суммарная яркость  $S_1(y,x)$  соответствующего домена  $\{i_2(y-1,x-1),i_2(y-1,x),i_2(y,x-1),i_2(y,x)\}$  второго исходного изображения  $I_2=\|i_2(y,x)\|_{\left(y=\overline{0,Y-1},x=\overline{0,X-1}\right)}$  с помощью выражения:

$$s_1(y,x) = \sum_{m=-1}^{0} \sum_{n=-1}^{0} i_2(y-m,x-n)$$
 при  $y = \overline{1,Y-2}$ ,  $x = \overline{1,X-2}$ .

- 1.3. Вычисляются значения пикселей домена  $\left\{\widetilde{i_1}(2y,2x),\widetilde{i_1}(2y+1,2x),\widetilde{i_1}(2y,2x+1),\widetilde{i_1}(2y+1,2x+1)\right\}$  первого промежуточного изображения  $\widetilde{I_1} = \left\|\widetilde{i_1}(y,x)\right\|_{\left(y=\overline{0,2Y-1},x=\overline{0,2X-1}\right)}$  с помощью выражения  $\widetilde{i_1}(2y+m,2x+n) = 4i_1(y,x)\frac{i_2(y-1+m,x-1+n)}{s_1(y,x)}$  при  $m=\overline{0,1}$ ,  $n=\overline{0,1}$ ,  $y=\overline{1,Y-2}$ ,  $x=\overline{1,X-2}$ .
- 2. Обработка второго исходного изображения  $I_2 = \|i_2(y,x)\|_{\left(y=\overline{0,Y-1},x=\overline{0,X-1}\right)}$  низкого разрешения канала (повторяются все шаги обработки первого исходного изображения  $I_1$  для второго изображения  $I_2$ ).
- 3. Попиксельное усреднение промежуточных изображений первого  $\widetilde{I}_1$  и второго  $\widetilde{I}_2$  с помощью выражения  $\hat{i}(y,x) = \frac{\widetilde{i}_1(y,x) + \widetilde{i}_2(y,x)}{2}$  при  $y = \overline{1,2Y-1}$ ,  $x = \overline{1,2X-1}$ .

В результате формируется изображение  $\hat{I} = \|\hat{i}(y,x)\|_{(y=\overline{0,2Y-1},x=\overline{0,2X-1})}$  повышенного разрешения (в пределе разрешение повышается до 2 раз). Вычислительная сложность данного алгоритма оценивается примерно в 27 операций на пиксель результирующего изображения.

## Оценка эффективности углового сканирования плоских поверхностей с последующей субпиксельной обработкой

В таблице приведены значения среднеквадратической ошибки MSE, пикового отношения сигнал-шум PSNR и ненормированной ошибки E для исходного изображения высокого разрешения и результирующих изображений высокого разрешения, полученных с помощью алгоритмов доменной, линейной и бикубической интерполяции. Значения данных

параметров определяются с помощью выражений 
$$MSE = \frac{1}{YX} \sum_{y=0}^{Y-1} \sum_{x=0}^{X-1} \left( i(y,x) - \hat{i}(y,x) \right)^2$$
,

$$PSNR = 10\lg\left(\frac{255^2}{MSE}\right), \ E = \sum_{y=0}^{Y-1} \sum_{x=0}^{X-1} \left| i(y,x) - \hat{i}(y,x) \right|,$$
где  $i(y,x) -$ пиксели эталонного изображения,

использованного для получения изображений низкого разрешения;  $|\cdot|$  – операция по модулю.

Из таблицы следует, что доменная интерполяция обеспечивает уменьшение среднеквадратической ошибки примерно в 4 и 2 раза (увеличение отношения сигнал-шум примерно на 6 дБ и 2,5 дБ) по сравнению с линейной и бикубической интерполяцией соответственно.

Метод интерполяции	MSE	PSNR	Е
Доменная	48,33	31,29	779588,00
Линейная	204,78	25,02	1166396,00
Бикубическая	93,40	28,43	968598,00

Для оценки локализации ошибок на изображениях высокого разрешения, восстановленных из изображений низкого разрешения с помощью субпиксельной обработки, использованы гистограммы модулей разностей соседних пикселей по столбцам для исходного изображения и изображений, восстановленных с помощью доменной, линейной и

бикубической интерполяции (рис. 1). Гистограммы, приведенные на рис. 1, получены для 8-битных тестовых изображений с помощью схемы, показанной на рис. 2.

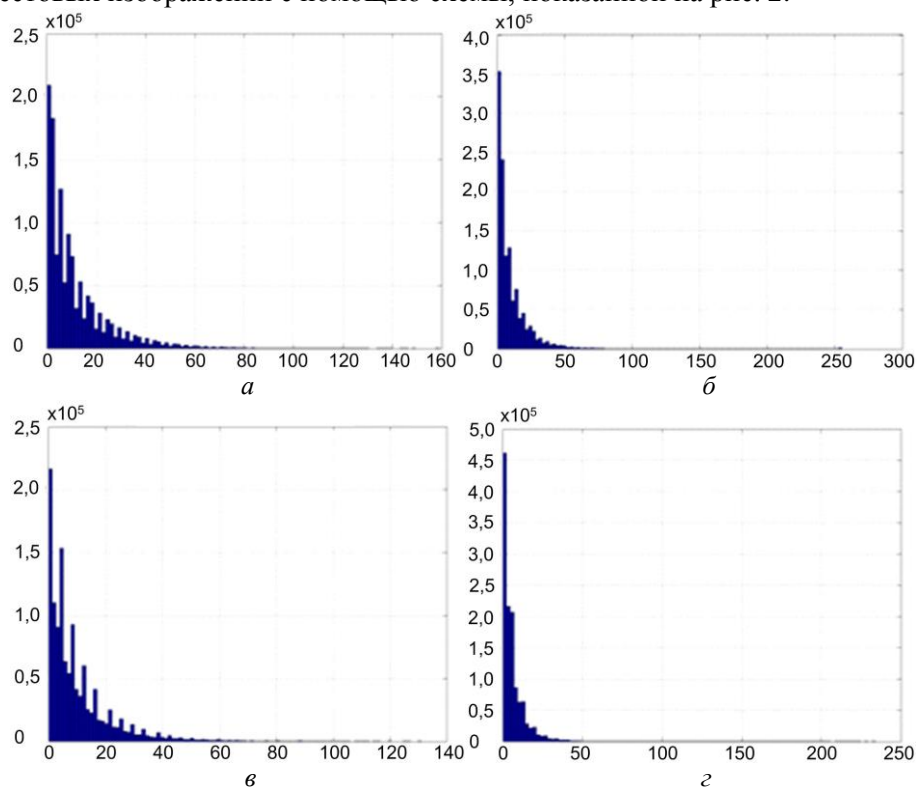


Рис. 1. Гистограммы модулей разностей соседних пикселей по столбцам для исходного изображения (a) и изображений, восстановленных с помощью доменной (b), линейной (b) и бикубической интерполяции (c) (по горизонтали — яркость пикселей, по вертикали — частота повторений)

Из рис. 1 следует, что доменная интерполяция приводит к наименьшему сглаживанию (увеличению мощности нулевых и близких к нулю компонент гистограмм разностей значений пикселей в столбцах и строках — увеличение числа нулевых компонент до 5 и 3 раз меньше по сравнению с усреднением и бикубической интерполяцией). Аналогичные результаты получаются для гистограмм модулей разностей соседних пикселей по строкам для изображений, восстановленных с помощью доменной, линейной и бикубической интерполяции.

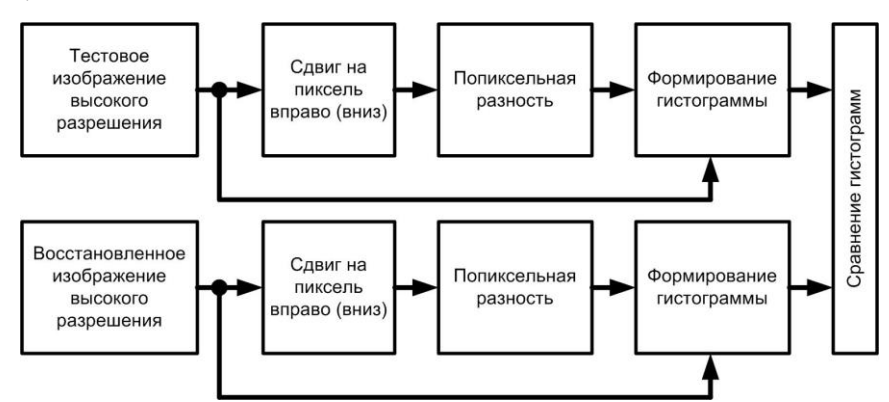


Рис. 2. Схема формирования гистограмм разностей

#### Заключение

Предложена методика углового оптического сканирования плоских поверхностей с управлением угловой ориентацией фотоприемной КМОП-матрицы для считывания изображения одного и того же участка плоской поверхности с различных частей фотоприемной

КМОП-матрицы с некоторым полупиксельным смещением по вертикали и горизонтали, обеспечивающим получение изображений высокого разрешения в результате субпиксельной обработки. Показано, что при использовании алгоритма субпиксельной обработки на основе доменной интерполяции обеспечивается уменьшение среднеквадратической ошибки примерно в 4 и 2 раза (увеличение отношения сигнал-шум примерно на 6 дБ и 2,5 дБ) по сравнению с линейной и бикубической интерполяцией соответственно.

# METHOD OF THE ANGLE OPTICAL SCANNING OF THE FLAT SURFACES FOR THE TECHNICAL VISION SYSTEMS

#### V.A. BOGUSH

#### **Abstract**

The technique of the angle optical scan of the flat surfaces with sub-pixel processing of images obtained with the photodetector CMOS matrix scanner is proposed.

Keywords: optical scan, sub-pixel processing.

## Список литературы

- 1. *Shinde S., Dewangan M.* // International Journal of Computer Science & Engineering Survey (IJCSES). 2012. Vol. 3, № 2. P. 47–56.
- 2. Chen W.A, Guo L., Xia W. // Journal of computers. 2013. 2013. Vol. 8, № 8. P. 1893–1897.
- 3. Irani M., Peleg S. // Journal of Computer Vision, Graphics, and Image Processing. 1991. Vol. 53 (3). P. 231–239.
- 4. *Jiang* Z., *Wong* T.T., *Bao* H. // Proceedings of IEEE International Conference on Computer Vision and Pattern Recognition. 2003. Vol. 2. P. 549–554.
- 5. Freeman W.T., Jones T.R., Pasztor E.C. // IEEE Computer Graphics and Applications. 2002. Vol. 22 (2). P. 56–65.